

ПЕРЕХОДНЫЕ ЭФФЕКТЫ
В СЕЧЕНИИ ВОЗБУЖДЕНИЯ К-ОБОЛОЧКИ АТОМОВ
РЕЛЯТИВИСТИЧЕСКИМИ ЗАРЯЖЕННЫМИ ЧАСТИЦАМИ

В.К.Ермилова, В.А.Чечин

Рассмотрено подавление "эффекта плотности" в сечении возбуждения *K*-оболочки атомов вблизи границы раздела вакуум – среда. Расчеты хорошо согласуются с новейшими экспериментами в тонких мишениях, где наблюдается подавление "эффекта плотности".

В экспериментах по измерению сечения σ_K возбуждения *K*-оболочки атомов заряженными частицами обнаружено неожиданное, на первый взгляд, явление – частичное или полное подавление "эффекта плотности" (ЭП) в тонких (\sim мкм) мишениях, который должен был бы наблюдаться при $\gamma \gtrsim \omega_K/\omega_p$ (γ – лоренц-фактор, ω_K – потенциал ионизации *K*-оболочки, ω_p – плазменная частота, $\hbar = c = 1$)^{1–3}. На самом деле, как отмечалось в³, физическая причина этого явления та же, что и для предсказанного Гарибянном⁴ подавления ЭП в энергетических потерях частицы в тонких слоях вещества. Переходные эффекты в локальных потерях энергии вблизи границы раздела двух сред рассматривались в⁵. В настоящей работе, используя подход, развитый в⁵, получено сечение $\sigma_K(z, \gamma)$, где z – расстояние, пройденное частицей в веществе.

Пусть частица с зарядом e , двигаясь вдоль оси z из среды ϵ_0 ($z < 0$) в среду ϵ ($z \geq 0$), пересекает нормально границу раздела (ϵ – диэлектрическая проницаемость). Энергия электромагнитного поля, поглощенная в веществе между плоскостями z и $z + dz$:

$$\frac{dW(z)}{dz} = \frac{1}{4\pi} \int E(z, \vec{\rho}, t) \frac{\partial(\hat{\epsilon} - 1)}{\partial t} E(z, \vec{\rho}, t) d\vec{\rho} dt. \quad (1)$$

Разложив E в интеграл Фурье, получим для числа столкновений:

$$\frac{dn(z)}{dz} = \int_0^{\infty} \omega \operatorname{Im} \epsilon \frac{dN(z)}{d\omega} d\omega; \quad \frac{dN(z)}{d\omega} = \frac{4\pi^2}{v^2} \int \frac{d\mathbf{q}}{\omega} |E(z, \mathbf{q}, \omega)|^2. \quad (2)$$

Формула (2) имеет очевидную интерпретацию в терминах метода эквивалентных фотонов: $dN(z)/d\omega$ – их спектр. Вклад K -оболочки $dn_K(z)/dz \equiv n_a \sigma_K(z)$ получим, если в $\sigma_{\text{пог}} = \omega \text{Im}\epsilon / n_a$ (n_a – плотность атомов) будем учитывать лишь сечение фотопоглощения на K -электронах $\sigma_K^{(\gamma)} (\omega \geq \omega_K)$. Используя известное из теории переходного излучения поле $E(z, q, \omega)$ ⁴, при $\omega \geq \omega_K$ (когда $|\epsilon - 1| \ll 1$) и $\gamma \gg 1$ ($q^2/\omega^2 \sim \gamma^{-2} \ll 1$), получим из (2):

$$\frac{dN(z)}{d\omega} \approx \frac{e^2}{\pi\omega} \int_0^{q_0} 2q^3 dq \left| \frac{\exp(iz\omega/v)}{\Lambda} - \left(\frac{1}{\Lambda_0} - \frac{1}{\Lambda} \right) \exp(iz\sqrt{\epsilon\omega^2 - q^2}) \right|^2, \quad (3)$$

$$\Lambda = \frac{\omega^2}{v^2} + q^2 - \epsilon\omega^2, \quad \Lambda_0 = \frac{\omega^2}{v^2} + q^2 - \epsilon_0\omega^2.$$

Как видно из (3), при $z \rightarrow 0$ поле E совпадает с собственным полем E_0 частицы в среде ϵ_0 ($E_0 \propto 1/\Lambda_0$). Соответственно, при $z \rightarrow 0$ в dW/dz , dn/dz и σ_K отсутствует ЭП (до тех пор, пока $\gamma \leq \omega_K/\omega_p^{(0)}$, см.⁵) и эти величины растут логарифмически с ростом γ . Ширина переходной области $z_{\text{пп}} \approx 1/\omega_K \text{Im}\epsilon(\omega_K)$; при $z \gg z_{\text{пп}}$ переходное поле $E_{\text{пп}} \propto \left(\frac{1}{\Lambda_0} - \frac{1}{\Lambda} \right)$ исчезает и имеет место обычный эффект плотности в среде ϵ .

Выполнив в (3) интегрирование по q , получим:

$$\frac{dN}{d\omega} = \frac{dN_0}{d\omega} + \frac{dN_{\text{пп}}}{d\omega} + \frac{dN_{\text{инт}}}{d\omega};$$

$$\frac{dN_0}{d\omega} = - \frac{e^2}{\pi\omega \text{Im}\epsilon} \text{Im} \left(\tau \ln \frac{2q_0^2}{\tau\omega^2} \right);$$

$$\frac{dN_{\text{пп}}}{d\omega} = \frac{e^2 \exp(-z\omega \text{Im}\epsilon)}{\pi\omega} \left\{ \frac{\text{Im}(\tau \ln \tau)}{\text{Im}\epsilon} - \frac{\text{Im}(\tau_0 \ln \tau_0)}{\text{Im}\epsilon_0} - 2\text{Re} \frac{(\tau_0 \ln \tau_0 - \tau^* \ln \tau^*)}{(\epsilon_0 - \epsilon^*)} \right\}; \quad (4)$$

$$\frac{dN_{\text{инт}}}{d\omega} = \frac{e^2}{\pi\omega} 2\text{Re} \left\{ \exp \left(-\frac{iz\omega\tau}{2} \right) \left[\frac{f(\tau_0) - f(\tau^*)}{\epsilon_0 - \epsilon^*} - \frac{\text{Im}f(\tau)}{\text{Im}\epsilon} \right] \right\},$$

где $\tau = v^{-2} - \epsilon$; $f(\tau) = \tau \exp \left(\frac{iz\omega\tau}{2} \right) \text{Ei} \left(-\frac{iz\omega\tau}{2} \right)$; v – скорость частицы; Ei – интегральная показательная функция. К (4) необходимо добавить вклад в $dN_0/d\omega$ "близких" ($q \geq q_0$) столкновений (остальные члены сходятся при $q \rightarrow \infty$). Сделаем это по методу, основанному на учете пространственной дисперсии в $\epsilon(\omega, q)$ и успешно используемому при расчетах ионизационных эффектов (Photo Absorption Ionisation Model)^{6, 7}. В данном случае этот метод приводит к замене $q_0^2 \rightarrow 2m\omega$ и добавлению члена:

$$\frac{dN_0^{(1)}}{d\omega} = \frac{e^2}{\pi\omega^3 \text{Im}\epsilon} \int_{\omega_K}^{\omega} \omega' \text{Im}\epsilon(\omega') d\omega'. \quad (5)$$

Сумма (5) и $dN_0/d\omega$ в (4) дает спектр эквивалентных фотонов в однородной среде, а множитель при экспоненте в $dN_{\text{пп}}/d\omega$ при $\text{Im}\epsilon \approx 0$ – спектр переходных квантов с учетом влияния поглощения и черенковского излучения; если $\epsilon \equiv 1$, то этот спектр совпадает с результатом⁸. Отметим, что при $z \leq z_{\text{пп}}$ отдельные вклады в $dN/d\omega$ не имеют глубокого физического смысла.

Для расчетов сечения возбуждения K -оболочки

$$\sigma_K(z, \gamma) = \sigma_0(\gamma) + \sigma_{\text{пп}}(z, \gamma) + \sigma_{\text{инт}}(z, \gamma)$$

использовались сечения фотопоглощения $\sigma_K^{(\gamma)}(\omega)$ и $\sigma_{\text{пог}}(\omega)$ из ⁹. Комплексная функция $\epsilon(\omega)$ – находилась из соотношений Крамерса – Кронига по $\text{Im}\epsilon(\omega)$. Спектры (4) – (5) были рассчитаны в предположении $\epsilon_0 \equiv 1$. Интегрирование по ω в (2) проводилось численно. Как видно из рисунков, роль интерференционного члена в (4), в целом, невелика. Однако при $z \ll z_n$ его необходимо учитывать, чтобы получить физически правильный результат: на границе спектр эквивалентных фотонов в данном приближении должен быть непрерывен. Применение полученных соотношений для вычисления $\sigma_K(z, \gamma)$ в слоях конечной толщины вполне оправдано в релятивистском случае, когда частица "слепо" налетает на мишень.

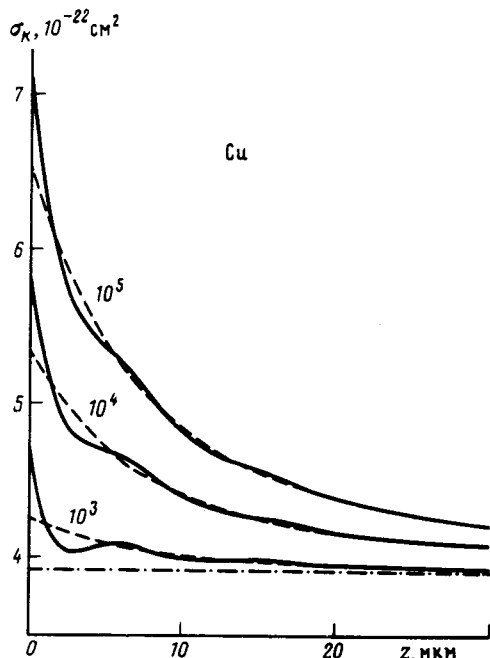


Рис. 1. Сечение σ_K для Cu как функция глубины в мишени z при различных γ . Штрих-пунктирная кривая – σ_0 при $\gamma \rightarrow \infty$; пунктирные – $\sigma_0 + \sigma_{\text{п}}$; сплошные – $\sigma_0 + \sigma_{\text{п}} + \sigma_{\text{инт}}$. Цифры около кривых – значения лоренц-фактора γ

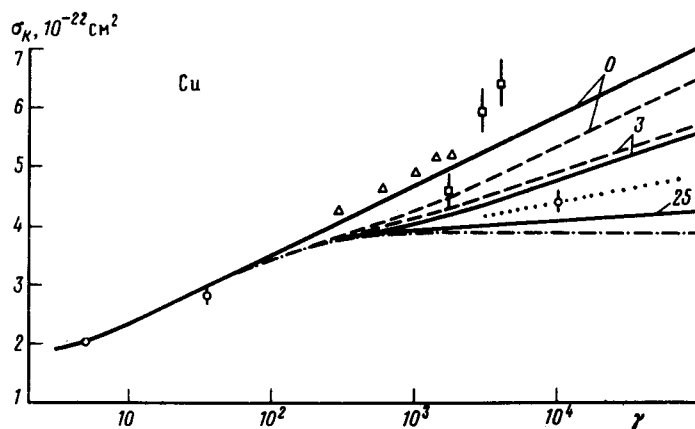


Рис. 2. Сечение σ_K для Cu как функция γ при различных z . Штрих-пунктирная кривая – $\sigma_0(\gamma)$; пунктирные – $\sigma_0 + \sigma_{\text{п}}$, сплошные – $\sigma_0 + \sigma_{\text{п}} + \sigma_{\text{инт}}$. Цифры около кривых – значения z в микронах. Точечная кривая – расчет относительного роста сечения в интервале $5 < \gamma < 5 \cdot 10^4$ для условий эксперимента ³ с учетом поглощения K_{α} – квантов в мишени, $\lambda_{\alpha} = 22,3$ мкм. Экспериментальные данные: $\Delta - 1$, $\square - 2$, $\circ - 3$

Хорошее согласие расчетов $\sigma_K(z)$ с экспериментом служит наглядной иллюстрацией подавления "эффекта плотности" вблизи границы раздела двух сред, давно обсуждаемого в теории переходного излучения.

Литература

1. Middleman L.M., Ford R.L., Hofstadter R. Phys. Rev., 1970, A2, 1429.
2. Genz H. et al. Z. Physik, 1982, A 305, 9.
3. Bak J.F. et al. Physica Scripta, 1986, 33, 147.
4. Гарibян Г.М. ЖЭТФ, 1959, 37, 527.
5. Чечин В.А. ДАН СССР, 1975, 221, 813.
6. Труды ФИАН СССР, 1982, 140, с. 3 – 18, 73 – 79.
7. Allison W.W.M., Cobb J.H. Ann. Rev. Nucl. Sci., 1980, 30, 253.
8. Базылев В.А., Глебов В.И., Денисов Э.И. и др. Письма в ЖЭТФ, 1976, 24, 406.
9. Veigele Wm. J. Atomic Data, 1973, 5, 51.

Физический институт им. П.Н.Лебедева
Академии наук СССР

Поступила в редакцию
14 апреля 1987 г.